



Research Paper

Predicting the Magnitude of Possible Earthquakes in the Shahrood District of Khalkhal County, Ardabil, Iran, Using Artificial Neural Networks



*Fariba Esfandiari Darabad¹ Mehrdad Vahabzadeh Zargari¹ Behrouz Nezafat Takle¹ Sayeh Abidi Hamlabadi¹

1. Department of Geography (Geomorphology), Faculty of Social Sciences, University of Mohaghegh Ardabili, Ardabil, Iran.

Use your device to scan
and read the article online



Citation Esfandiari Darabad, F., Vahabzadeh Zargari, M., Nezafat Takle, B., & Abidi Hamlabadi, S. (2024). [Predicting the Magnitude of Possible Earthquakes in the Shahrood District of Khalkhal County, Ardabil, Iran, Using Artificial Neural Networks (Persian)]. *Disaster Prevention and Management Knowledge*, 14(2):158-177. <https://doi.org/10.32598/DMKP.14.2.794.1>

doi <https://doi.org/10.32598/DMKP.14.2.794.1>

ABSTRACT

Background and objective Earthquakes are natural disasters that can cause high damage. Prediction of earthquakes is necessary to reduce damages, develop resistant infrastructure, and prevent the loss of life in human societies. This research aims to predict the magnitude of possible earthquakes in the Shahrood district of Khalkhal County using artificial neural networks (ANN).

Method A multi-layer perceptron neural network was used to predict earthquake magnitude.

Results The results showed that in the fault areas, especially the Kalur fault, earthquakes with a magnitude of 1-3 on the Richter scale are more likely to occur (70%). The likelihood of earthquakes with a magnitude of 4-6 on the Richter scale is moderate (26%) and the earthquakes with a magnitude of 7-10 on the Richter scale have a very low probability (4%).

Conclusion In future studies, it is recommended to use machine learning models to better and more accurately predict earthquakes in the studied area.

Keywords Prediction, Magnitude of earthquake, Shahrood, Khalkhal, Neural network

Article Info:

Received: 14 Mar 2024

Accepted: 18 May 2024

Available Online: 01 Jul 2024

* Corresponding Author:

Fariba Esfandiari Darabad,

Address: Department of Geography (Geomorphology), Faculty of Social Sciences, University of Mohaghegh Ardabili, Ardabil, Iran.

Tel: +98 (912) 0503281

E-mail: esfandyari@uma.ac.ir



Copyright © 2024 The Author(s);

This is an open access article distributed under the terms of the Creative Commons Attribution License (CC-By-NC: <https://creativecommons.org/licenses/by-nc/4.0/legalcode.en>), which permits use, distribution, and reproduction in any medium, provided the original work is properly cited and is not used for commercial purposes.

Extended Abstract

Introduction

From ancient times, following natural disasters, mankind has sought solutions to prevent or control these disasters. Earthquakes are one of these natural disasters that have always caused financial and human losses. The time, place, and magnitude of the earthquakes are the three main parameters of the earthquake assessment. To control and minimize its adverse effects, a good estimate of their values should be available (Arjamand et al., 2015). Earthquake is a natural hazard with sudden shaking of the ground, which is of particular importance for human societies in terms of magnitude and area of destruction, unpredictability, and occurrence in a very short time (Gholami and Shokuh Bidandi, 2023). For earthquake prediction, it is necessary to consider the time, place, magnitude, probability, and reason for its occurrence. The purpose of earthquake prediction is to help disaster management organizations prepare for earthquakes. When a strong earthquake is predicted, disaster management organizations should be alerted to take preventive measures. In disaster preparedness, decisions and activities focus on damage prevention. Various earthquake prediction techniques have been applied to mitigate damages (Bhatia et al., 2023).

Shahrood, a district of Khalkhal county, Ardabil, Iran, is an area vulnerable to earthquakes due to the existence of geological formations with heterogeneous resistance, being located on an alluvial plain with less resistance than the thick bedrock, and being surrounded by numerous faults. Also, due to being located in the folded zone of Western Alborz and Azerbaijan, different faults in the region have been formed, the most important of which are Talash fault, Neor fault, and Shahrood Kalur fault. This research aims to predict the magnitude of possible earthquakes in the Shahrood district of Khalkhal County using artificial neural networks.

Methods

This research used various data and information, including the geological map of Rezvanshahr, Khalkhal, and Masuleh counties with a scale of 1:100,000, from which the map of faults and geological formations was extracted. ALOS-PALSAR digital elevation model with a spatial resolution of 12.5 m and Sentinel-2 satellite images were used to identify geological features. For finding different characteristics of earthquakes, the 30-year seismic data from the Institute of Geophysics of the University of

Tehran and the global seismic data from the US Geological Survey were used, which included date of occurrence, magnitude, focal depth, and geographic coordinates. The selection of a 30-year period was due to the existence of complete data. For the period of more than 30 years, the data were mostly incomplete. All the data used for the preparation in the first stage were entered into the ArcGIS software and preliminary processing was done on all neural layers. After the preprocessing, the modeling is done using SPSS Modeler software.

Results

For modeling the input data for the network, the data was split into two sets; 70% for training and 30% for testing. Five criteria were determined for predicting earthquake magnitude: Earthquake focal depth, magnitude of previous earthquakes, distance of the faults from the occurrence points, location of previous earthquakes, and fault length. After designing the model and configuring the network, the data was processed, and a multilayer perceptron (MLP) artificial neural network was created with 5 input neurons, 3 hidden neurons, and 1 output neuron. This model achieved an accuracy of 98.2%, indicating its high precision in processing data for predicting earthquake magnitude. The results indicated that, in the MLP model, the highest effect (0.83) was related to the magnitude of previous earthquakes, followed by the distance of the faults (0.58) and the focal depth of earthquakes (0.42). The lowest effects were related to the location of previous earthquakes (0.25) and fault length (0.18). The MLP model was finally found to have high validity and reliability in both training and testing phases.

Conclusion

The prediction results showed that earthquakes with a magnitude of 1-3 on the Richter scale are very likely to occur and the possibility of their occurrence on faults, especially the Kalur fault, is very high (70%). Although earthquakes with this magnitude have low risk, their occurrence in shallow depths and close to residential areas can cause mortality and financial loss. Also, earthquakes with a magnitude of 4-6 on the Richter scale have a moderate probability of occurrence (26%). These earthquakes can cause a lot of damage in the region. Moreover, the likelihood of earthquakes with a magnitude of 7-10 on the Richter scale in the area is 4%, indicating a low probability. In future studies, it is recommended to use machine learning models to better and more accurately predict earthquakes in the studied area.

Ethical Considerations

Compliance with ethical guidelines

All ethical principles were observed in this study.

Funding

This research did not receive any specific grant from funding agencies in the public, commercial, or not-for-profit sectors.

Authors' contributions

The authors contributed equally to preparing this paper.

Conflicts of interest

The authors declared no conflict of interest.

Acknowledgments

The authors would like to thank the National Center for Seismology of Iran and the [Institute of Geophysics of the University of Tehran](#), for providing important data and information to carry out this research.



مقاله پژوهشی پیش‌بینی بزرگای زمین‌لرزه احتمالی در بخش شهرود شهرستان خلخال با استفاده از شبکه عصبی

*فریبا اسفندیاری درآباد^۱، مهرداد وهاب‌زاده زرگری^۱، بهروز نظافت تکله^۱، سایه عبیدی حمل‌آباد^۱

۱. گروه جغرافیا طبیعی (زمورفولوژی)، دانشکده علوم اجتماعی، دانشگاه محقق اردبیلی، اردبیل، ایران.



Citation Esfandiari Darabad., F., Vahabzadeh Zargari., M., Nezafat Takle., B., & Abidi Hamlabadi., S. (2024). [Predicting the Magnitude of Possible Earthquakes in the Shahrood District of Khalkhal County, Ardabil, Iran, Using Artificial Neural Networks (Persian)]. *Disaster Prevention and Management Knowledge*, 14(2):158-177. <https://doi.org/10.32598/DMKP.14.2.794.1>

doi <https://doi.org/10.32598/DMKP.14.2.794.1>

حکایه

مینه و هدف زمین‌لرزه یکی از پدیده‌های طبیعی و مخاطره‌آمیز بر روی کره زمین است که به علت میزان صدمات و شدت آن از اهمیت ویژه‌ای برخوردار است. بنابراین شناخت پارامترها و پیش‌بینی زمین‌لرزه یکی از اقدامات ضروری برای کاهش خسارات، توسعه زیرساخت‌های مقاوم و جلوگیری از اذای دست رفتن زندگی جوامع انسانی است. هدف از پژوهش حاضر پیش‌بینی بزرگای زمین‌لرزه احتمالی در بخش شهرود شهرستان خلخال با استفاده از شبکه عصبی است.

روش در این پژوهش از شبکه عصبی پرسپترون چندلایه برای پیش‌بینی بزرگای زمین‌لرزه استفاده شد.

یافته‌های نتایج حاصل از پژوهش نشان داد در مناطق گسله بهویژه گسل کلور رخداد زمین‌لرزه با بزرگای ۱ تا ۳ ریشتر در منطقه با مجموع ۷۰ درصد دارای احتمال بیشتری است، اما به خاطر مجھول بودن بخشی از داده‌های زمین‌لرزه با بزرگای بالای ۶ ریشتر، از عوامل تأثیرگذار دیگر استفاده شده که این امکان را برای شبکه عصبی پرسپترون چندلایه در پیش‌بینی فراهم می‌سازد تا با تشکیل ماتریس و مقایسه آن نتایج نهایی ایجاد شود. همچنین پیش‌بینی موقع زمین‌لرزه با بزرگای ۴ تا ۶ در آینده، با ۲۶ درصد احتمال متوسطی دارد، اما پیش‌بینی زمین‌لرزه‌هایی با بزرگای ۷ تا ۱۰ ریشتر توسط مدل پرسپترون چندلایه با مجموع ۴ درصد دارای احتمال خیلی پایینی است.

نتیجه‌گیری در نهایت پیشنهاد می‌شود در مطالعات آتی، برای پیش‌بینی هرچه بهتر و دقیق‌تر زمین‌لرزه‌ها در منطقه مورد مطالعه، از مدل‌هایی مبتنی بر روش‌های یادگیری ماشینی استفاده شود.

کلیدواژه‌ها پیش‌بینی، بزرگای زمین‌لرزه، شهرود، خلخال، شبکه عصبی

اطلاعات مقاله:

تاریخ دریافت: ۲۴ اسفند ۱۴۰۲

تاریخ پذیرش: ۱۵ اردیبهشت ۱۴۰۳

تاریخ انتشار: ۱۱ تیر ۱۴۰۳

* نویسنده مسئول:

فریبا اسفندیاری درآباد

نشانی: اردبیل، دانشگاه محقق اردبیلی، دانشکده علوم اجتماعی، گروه جغرافیا طبیعی (زمورفولوژی).

تلفن: +۹۸ (۹۱۲) ۰۵۰ ۳۲۸۱

پست الکترونیکی: esfandyari@uma.ac.ir



Copyright © 2024 The Author(s);

This is an open access article distributed under the terms of the Creative Commons Attribution License (CC-BY-NC): <https://creativecommons.org/licenses/by-nc/4.0/legalcode.en>, which permits use, distribution, and reproduction in any medium, provided the original work is properly cited and is not used for commercial purposes.



طرح‌های واکنش در بلایا کمک کنند ([البنا و همکاران](#)، ۲۰۲۰). همچنین پیش‌بینی زمین‌لرزه باید شامل زمان، مکان، بزرگی، احتمال و دلیل وقوع آن نیز باشد. هدف از پیش‌بینی زمین‌لرزه، کمک به سازمان‌های کنترل بلایا در آمادگی برای زمین‌لرزه است. هنگامی که یک زمین‌لرزه قوی پیش‌بینی می‌شود، مدیران کنترل بلایا باید برای انجام اقدامات پیشگیرانه هشدار داده شوند. در آمادگی در برابر فاجعه، تصمیمات و فعالیت‌ها بر پیشگیری از خسارات متتمرکز است. به طور آشکار، انواع تکنیک‌های پیش‌بینی زمین‌لرزه برای کاهش خسارات به کار گرفته شده است ([بهاتیا و همکاران](#)، ۲۰۲۳).

از آنجایی که ایران روی کمریند لرزه‌خیز آلب هیمالیا قرار دارد و به عنوان یکی از بخش‌های جوان و در حال کوه‌زایی به شمار می‌رود، جزو کشورهای لرزه‌خیز است، به طوری که زمین‌لرزه‌های فاجعه‌باری در سال‌های اخیر باعث تلفات جانی و مالی فراوان شده‌اند ([بربریان و کینگ](#)، ۱۹۸۱). مجاورت با صفحه عربستان و فشار این صفحه بر صفحه ایران باعث شکستگی گسل‌ها شده و همین امر به زمین‌لرزه‌های بسیار شدید در ایران منجر شده است ([حیدری مظفر و تاج‌بخشیان](#)، ۱۴۰۱). در بخش شاهروド شهرستان خلخال، وجود سازندۀ‌های زمین‌شناسی با مقاومت ناهمگن، استقرار شهر روی یک دشت آبرفتی با مقاومت کمتر نسبت به سنگ بستر ضخیم لایه و احاطه شدن توسط گسل‌های متعدد سبب شده‌اند تا این شهر نسبت به مخاطره زمین‌لرزه پتانسیل بالایی داشته باشد. همچنین قرارگیری بخش شاهروド در زون چین خوردۀ البرز غربی و آذربایجان سبب شده که تحت تأثیر فازهای کوه‌زایی گسل‌های مختلفی در منطقه ایجاد شود که از مهم‌ترین این گسل‌ها می‌توان به گسل تالش، گسل نور و گسل شاهروド کلور اشاره کرد. مطالعه و ارزیابی بخش شاهروド به لحاظ لرزه‌خیزی و پیش‌بینی بزرگ‌ای زمین‌لرزه یکی از ضرورت‌های برنامه‌ریزی است. پیش‌بینی بزرگ‌ای زمین‌لرزه از اهمیت بالایی برخوردار است، زیرا این پیش‌بینی‌ها امکان حفظ امنیت عمومی، کاهش خسارات، توسعه زیرساخت‌های مقاوم و جلوگیری از از دست رفتن زندگی‌ها و دارایی‌ها را فراهم می‌کند. به علاوه، این امر پیشرفت علمی و توسعه فناوری را تشویق می‌کند. به طور خلاصه، پیش‌بینی بزرگ‌ای زمین‌لرزه نه تنها برای ما اطلاعات لازم را فراهم می‌کند، بلکه به ما امکان می‌دهد از این اطلاعات برای مدیریت بهتر بحران‌های زمین‌لرزه و حفظ امنیت و سلامتی افراد استفاده کنیم.

نوآوری این پژوهش نسبت به سایر مطالعات انجام‌شده این است که از مدل نوین شبکه عصبی برای پیش‌بینی بزرگ‌ای زمین‌لرزه استفاده شده است که در زمینه پیش‌بینی و حل مسائل پیچیده عملکرد خوبی دارد. هدف از پژوهش حاضر پیش‌بینی بزرگ‌ای زمین‌لرزه احتمالی در بخش شاهروド شهرستان خلخال با استفاده از شبکه عصبی است.

مقدمه

از زمان‌های قدیم و در پی حوادث و وقایع طبیعی، بشر همواره به دنبال راهکارهایی برای جلوگیری یا کنترل این وقایع بوده است. زمین‌لرزه یکی از این حوادث طبیعی است که وقوع آن همواره تلفات جانی و مالی سنگینی به همراه داشته است. زمان، مکان و بزرگ‌ای زمین‌لرزه سه پارامتر اصلی زمین‌لرزه هستند که برای کنترل و کمینه کردن تلفات آن باید برآورده خوبی از مقادیر آن‌ها در دست باشد ([ارجمند و همکاران](#)، ۱۳۹۵). زمین‌لرزه مخاطره طبیعی، ناگهانی، با منشاً زمینی است و به لحاظ قدرت و حوزه تخریب وسیع بوده و نیز غیرقابل پیش‌بینی بودن و زمان بسیار کوتاه وقوع آن از اهمیت ویژه‌ای برای جوامع بشری برخوردار است ([غلامی و شکوهی بیدهندی](#)، ۱۴۰۱). زمین‌لرزه حالت خاصی از تغییر شکل توده‌های سنگی است که در آن پدیده‌های گسیختگی در مقیاس متفاوت رخ می‌دهد، یا هر نوع لرزش زمین در اثر عبور امواج لرزه‌ای را زلزله گویند ([گالکینا و گرافیو](#)، ۲۰۱۹). عوامل متعدد طبیعی و انسانی باعث بروز زمین‌لرزه در سطح زمین می‌شوند که از آن جمله می‌توان به لرزش‌های ایجاد شده ناشی از فعالیت آتش‌شانی و فعالیت گسل و لرزش‌های مصنوعی در اثر انفجارهای اتمی که جزء عامل انسانی است، اشاره کرد ([اسفندیاری و همکاران](#)، ۱۳۹۲). وجود یا عدم وجود گسل‌ها و شکستگی‌های زمین و فعالیت‌های اخیر آن‌ها و جوان بودنشان از جمله شاخص‌هایی هستند که می‌توانند در فعالیت‌های آتی آن اثرگذار باشند. درواقع، رابطه گسل و زمین‌لرزه دوطرفه است، یعنی گسل‌های فراوان در یک منطقه سبب بروز زمین‌لرزه می‌شوند ([اسفندیاری و همکاران](#)، ۱۳۹۶). پس می‌توان گفت مهم‌ترین عامل زمین‌ساختی ایجاد کننده زمین‌لرزه‌ها، گسل‌ها هستند و براساس اینکه کدامیک از دیواره‌های گسل بر دیواره دیگر بلغزد، سازوکارهای گسلش متفاوت خواهد بود ([خدادادی جید و پورزینلی](#)، ۱۴۰۱). زمین‌لرزه یک مخاطره طبیعی است که در اثر حرکت صفحات تکتونیکی زمین به دلیل آزاد شدن انرژی داخلی قابل توجه آن ایجاد می‌شود. یک زمین‌لرزه متوسط با بزرگ‌ای پیش از ۶ ریشتر می‌تواند تلفات گسترده و خسارات زیرساختی هنگفتی را که میلیاردها دلار هزینه دارد، وارد کند. اما اگر بتوان وقوع زمین‌لرزه را پیش‌بینی کرد، می‌توان شدت تخریب را به حداقل رساند. یک روش کامل پیش‌بینی زمین‌لرزه باید دارای سه نوع اطلاعات باشد: بزرگی، مکان و زمان وقوع ([البنا و همکاران](#)، ۲۰۲۰). پیش‌بینی زمین‌لرزه را می‌توان به فرایند کوتاه‌مدت و بلندمدت طبقه‌بندی کرد. پیش‌بینی کوتاه‌مدت بسیار پیچیده است، زیرا زمین‌لرزه‌ها را طرف چند روز یا چند هفته پیش از وقوع آن‌ها پیش‌بینی می‌کند. بنابراین باید دقیق باشد. معمولاً برای تخلیه یک منطقه قبل از وقوع زمین‌لرزه از پیش‌بینی‌های کوتاه‌مدت استفاده می‌شود. از سوی دیگر، زمین‌لرزه‌های بلندمدت براساس ورود دوره‌ای زمین‌لرزه‌ها پیش‌بینی می‌شوند که حاوی اطلاعات کمی است. باین حال، آن‌ها می‌توانند به تنظیم استانداردهایی برای کدهای ساختمانی و طراحی



پیشینه تحقیق

ماشینی و یادگیری عمیق پرداختند. نتایج مطالعه آن‌ها نشان داد روشی کرد مبتنی بر یادگیری عمیق با میانگین دقت متعادل $81/2$ درصد و $59/3$ درصد بهتری داشتند. مطالعه ای از آزمون، عملکرد کاملاً بهتری در مقایسه با شبکه‌های عصبی بازگشتی معمولی در طبقه‌بندی مقادیر اوج شتاب زمین^۳ از خود بر جای گذاشته است و می‌توان با اصلاح کردن تابع هزینه شبکه‌های بازگشتی عمیق به کمک روشی که حساس به هزینه، چالش عدم تعادل کلاس داده‌های لرزه‌ای را نیز به خوبی کنترل کرد. **کاظمی و همکاران (۱۴۰۰)**، به ارزیابی و تخمین سریع بزرگ و فاصله رومترکی زمین‌لرزه برای منطقه البرز با استفاده از روش B-D پرداختند. ایشان در این پژوهش روابطی را جهت تخمین بزرگ و فاصله مرکزی ارائه دادند که این روابط می‌توانند به عنوان روابطی قابل اطمینان و مناسب در سامانه هشدار سریع منطقه البرز به کار گرفته شوند. **احمدی نمین و کاظمیان (۱۴۰۲)**، به مطالعه رابطه بین زمین‌لرزه و آبوهوا در زمین‌لرزه‌های اخیر ایران با استفاده از روش توصیفی تحلیلی پرداختند. نتایج پژوهش آن‌ها حاکی از آن است که در زمان وقوع زمین‌لرزه در اکثر عوامل آبوهوابی تغییر مشاهده شده و بین آن‌ها رابطه وجود دارد. **یازلو و بای (۱۴۰۲)**، به پیش‌بینی زمین‌لرزه‌های القایی ناشی از سدسازی به وسیله شبکه عصبی مصنوعی پرداختند و روش‌هایی را برای پیش‌بینی زمین‌لرزه القایی ارائه دادند.

همچنین از مطالعات خارجی در این مورد می‌توان به موارد زیر اشاره کرد:

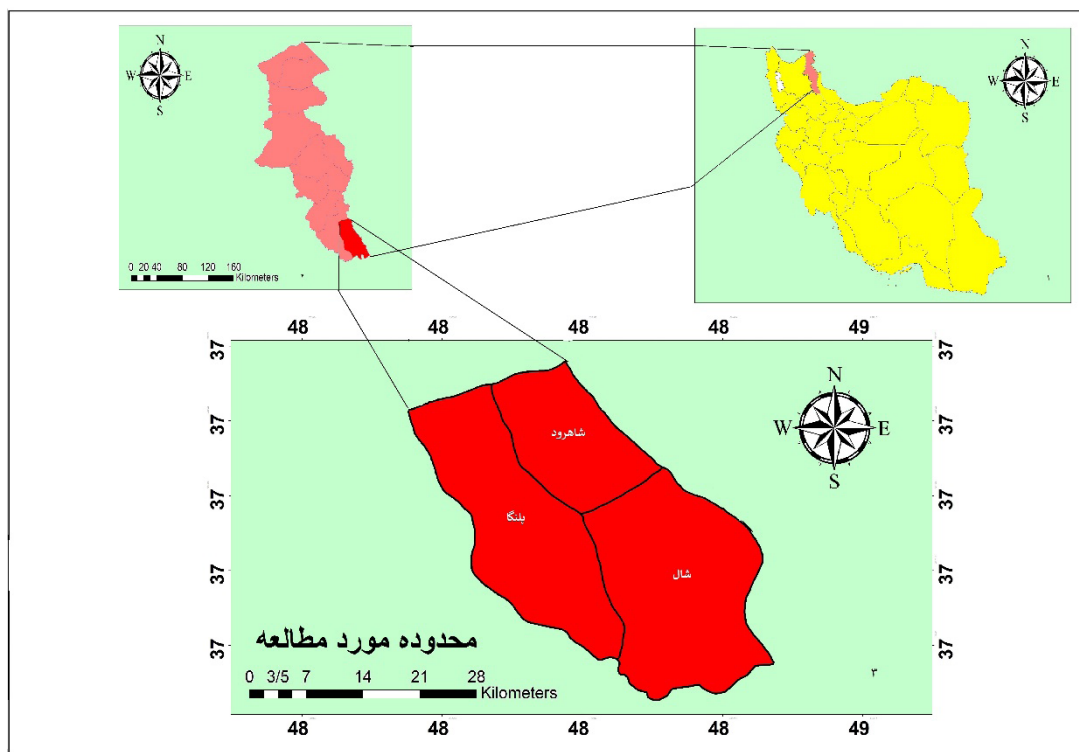
گالکینا و گرافیو (۲۰۱۹)، به ارزیابی و تحلیل روش‌های یادگیری ماشین برای پیش‌بینی زمین‌لرزه پرداختند. آن‌ها در مطالعه خود روند داده‌ها، ویژگی‌ها، میزان کامل بودن و معیارهای اندازه‌گیری عملکرد را برای این مطالعات مشاهده کردند. آن‌ها متوجه شدند که این مطالعات در پیش‌بینی زمین‌لرزه‌های نادر اما مهم‌تر با مشکلاتی روبرو هستند. **فنگ و فاکس (۲۰۲۰)**، در پژوهشی تحت عنوان پیش‌بینی زمین‌لرزه‌های شدید مکانی - زمانی در جنوب کالیفرنیا، یک روش مدل‌سازی عمیق مشترک برای پیش‌بینی زمین‌لرزه را پیشنهاد کردند که این روش در مقایسه با برخی از شبکه‌های عصبی مکرر از نظر پیش‌بینی شوک‌های بزرگ برای زمین‌لرزه‌های جنوب کالیفرنیا، امیدوارکننده بود. **البنا و همکاران (۲۰۲۰)**، به بررسی کاربرد هوش مصنوعی در پیش‌بینی زمین‌لرزه پرداخته و با پوشش تمام تکنیک‌های مبتنی بر هوش مصنوعی موجود در پیش‌بینی زمین‌لرزه، شرحی از روش‌های موجود و تحلیل مقایسه‌ای عملکرد آن‌ها ارائه دادند. **اپریانی و همکاران (۲۰۲۱)**، به تخمین بزرگی زمین‌لرزه براساس یادگیری ماشین (کاربرد در سیستم هشدار اولیه زمین‌لرزه) پرداختند. نتایج حاصل از پژوهش آن‌ها حاکی از آن بود که شکل

پیرامون موضوع پیش‌بینی زمین‌لرزه با استفاده از روش‌های مختلف مطالعات متعددی در داخل کشور و خارج از آن صورت گرفته است که به طور مختصر به برخی از آن‌ها اشاره می‌شود.

خیری و همکاران (۱۳۹۵)، به پیش‌بینی بزرگی زمین‌لرزه گسل تبریز با استفاده از رگرسیون چندجمله‌ای پرداختند. آن‌ها در این پژوهش رابطه‌ای برای این مدل ارائه دادند که در آن زمان وقوع زمین‌لرزه‌ها مهم‌ترین متغیر مستقل برآورده کننده بزرگی است و با وارد کردن داده‌های لرزه‌ای جدید می‌توان بزرگی زمین‌لرزه را با کمترین خطای پیش‌بینی کرد. **حیاتی و همکاران (۱۳۹۵)**، به پیش‌بینی محل وقوع زمین‌لرزه احتمالی در استان خراسان رضوی با استفاده از روش شبکه عصبی مصنوعی پرداختند. آن‌ها به این نتیجه رسیدند که میانگین بزرگی و عمق زمین‌لرزه‌های اتفاق افتاده در این استان به ترتیب $4/6$ و $20/96$ کیلومتر بوده است و بیشترین احتمال وقوع زمین‌لرزه در منطقه مرکزی متمایل به غرب استان (شهرستان کاشمر و جنوب شرق شهرستان‌های سبزوار و بردسکن) و در منطقه جنوب شرق استان (شهرستان خوف) با احتمال 30 درصد بالاتر نسبت به سایر مناطق پیش‌بینی شده است. **ارجمند و همکاران (۱۳۹۵)**، به پیش‌بینی بزرگای زمین‌لرزه با استفاده از شبکه عصبی پرسپترون چندلایه^۱ پرداختند. نتایج پژوهش آن‌ها نشان داد شبکه عصبی پرسپترون چندلایه توانایی بالایی در پیش‌بینی بزرگای زمین‌لرزه دارد و گزینه بسیار مناسبی برای این منظور است. **سلطان‌پور و همکاران (۱۳۹۷)**، به ارزیابی ریسک زمین‌لرزه در شمال غرب تهران با استفاده از فرایند تحلیل سلسله‌مراتبی^۲ (مطالعه موردي منطقه 22) پرداختند. در نتایج مطالعه آن‌ها با در نظر گرفتن آسیب‌پذیری و خطر و جمعیت در منطقه مشخص شد ریسک زمین‌لرزه منطبق با نقاط جمعیتی در منطقه است و هرچه از پهنه‌های با جمعیت بالا دور می‌شود ریسک کمتر می‌شود. بنابراین کنترل جمعیت‌پذیری و ساختمنسازی در منطقه از اعتبار بالایی در کاهش ریسک برخوردار است. **دانای و همکاران (۱۳۹۹)**، به ارزیابی آسیب‌پذیری نواحی منطقه 8 شهرداری تهران در برابر زمین‌لرزه با استفاده از روش AHP پرداختند. نتایج پژوهش آن‌ها نشان داد ناحیه 3 آسیب‌پذیرترین ناحیه است و قسمت عمده بافت‌های فرسوده در این ناحیه وجود دارد. از نظر آسیب‌پذیری، ناحیه 3 با ضریب $27/19$ اهمیت $51/39$ در رتبه اول، ناحیه 1 با ضریب اهمیت $21/42$ در رتبه دوم و ناحیه 2 با ضریب اهمیت $1/42$ در رتبه سوم قرار دارد. **پیری‌زاده و پیری‌زاده (۱۴۰۰)**، به ارزیابی و تحلیل کاربرد هوش مصنوعی در تحلیل داده‌های لرزه‌شناسی (مطالعه موردي: داده‌های پیش‌نstanگرهای) با استفاده از روش‌های یادگیری

1. Multilayer perceptron (MLP)

2. Analytic hierarchy process (AHP)



تصویر ۱. نقشه موقعیت جغرافیایی منطقه مورد مطالعه

قسمت جنوب اردبیل قرار دارد. شهرستان خلخال از ناحیه شرق به استان گیلان، از قسمت غرب به آذربایجان شرقی، از جنوب به استان زنجان و از شمال به بخش کوثر منتهی می‌شود. فاصله بخش مرکز شهر خلخال تا استان اردبیل ۱۱۶ کیلومتر است. از لحاظ تقسیمات سیاسی، شهرستان خلخال از سه بخش مرکزی، شاهرود و خورش رستم تشکیل شده است. ناحیه شاهرود، جزو مناطق تابعه شهرستان خلخال، با مختصات جغرافیایی ۳۱ درجه و ۴۸ دقیقه طول شرقی و ۳۴ درجه و ۳۷ دقیقه عرض شمالی است (تصویر شماره ۱). این منطقه در جنوب شرقی شهرستان خلخال و در نزدیکی رشته کوه تالش و کوه آق داغ واقع شده و ارتفاع متوسط آن از سطح دریا ۱۵۵۰ متر است (تصویر شماره ۲). بخش شاهرود به محوریت شهر کلور دارای سه دهستان بزرگ شامل دهستان شاهرود، پلنگا و شال است که در کل دارای ۴۷ آبادی است. از ویژگی‌های بخش شاهرود می‌توان به کوهستانی بودن آن اشاره کرد، بدینجهت که ارتفاعات تالش در قسمت شرقی و ارتفاعات پلنگا و آق داغ در قسمت جنوبی سبب چهره کوهستانی بخش شاهرود شده است (تصویر شماره ۳). همچنین به لحاظ تکتونیک، منطقه مورد مطالعه در دوران زمین‌شناسی تنש‌های زیادی را به خود دیده که آخرین و تأثیرگذارترین آن‌ها حرکت کوه‌زایی آلبی است که سبب شکل‌گیری ارتفاعات شامل چین خودگی‌ها منطقه شده و تحت تأثیر این فعالیت‌های زمین‌ساختی گسل‌ها و شکستگی‌های مختلفی در منطقه ایجاد شده که تأثیر زیادی در فعالیت‌های لرزه‌خیزی دارند.

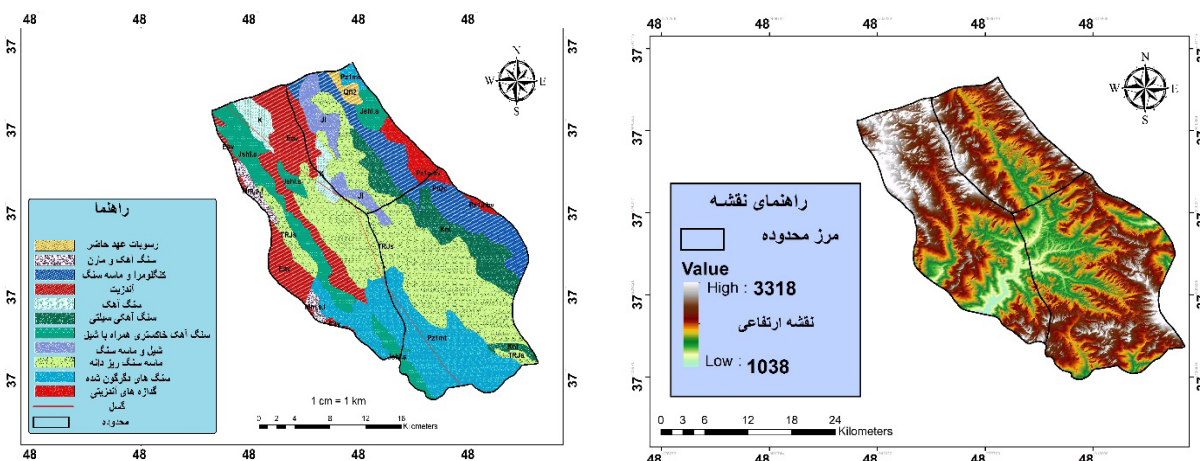
موج را می‌توان با مدل‌های شبکه عصبی عمیق^۴ مدل‌سازی کرد. همچنین آن‌ها در رابطه با تخمین بزرگی زمین‌لرزه پیشنهاد کردنده مدل‌سازی خام لرزه‌ای با استفاده از طبقه‌بندی DNN با مجموعه داده بزرگ‌تر بهتر است و در رابطه با مجموعه داده نسبتاً کوچک، مدل‌سازی با استفاده از الگوریتم جنگل تصادفی^۵ می‌تواند گزینه دیگری باشد. بهاتیا و همکاران (۲۰۲۳)، به پیش‌بینی زمین‌لرزه در زمان واقعی مبتنی بر هوش مصنوعی پرداختند و به این نتیجه رسیدند که براساس شبیه‌سازی تجربی، اثربخشی افزایش‌یافته برای چارچوب ارائه شده از نظر عملکرد طبقه‌بندی دقیق (۹۲/۵۲ درصد)، حساسیت (۹۱/۷۲ درصد) و ویژگی (۹۱/۰۱ درصد) بوده است. سعد و همکاران (۲۰۲۳)، در پژوهشی تحت عنوان پیش‌بینی زمین‌لرزه با استفاده از داده‌های بزرگ و هوش مصنوعی، چارچوبی را برای پیش‌بینی زمین‌لرزه در زمان واقعی طراحی کرده و آن را در مناطق لرزه‌زا در جنوب غربی چین آزمایش کرده‌اند. موسوی و بروزا (۲۰۲۲)، به بررسی یادگیری ماشین در زلزله‌شناسی پرداختند و در پژوهش خود تکنیک‌هایی را برای زلزله‌شناسی ارائه دادند.

منطقه مورد مطالعه

در تقسیمات سیاسی استان اردبیل، شهرستان خلخال با محوریت شهر خلخال به عنوان یکی از ۱۲ شهرستان استان، در

4. Deep neural network (DNN)

5. Random forest (RF)



تصویر ۳. نقشه زمین‌شناسی

تصویر ۲. نقشه ارتفاعی

شبکه عصبی پرسپترون چندلایه

مکالوک و همکاران در اوایل دهه ۱۹۴۰ روش شبکه عصبی را پایه گذاری کردند. به طور کلی، شبکه عصبی یک ابزار پیش‌بینی برای ساخت یک مدل ریاضی از یک سیستم ناشناخته است. هوش مصنوعی یکی از مشهورترین رشته‌های علم است که بکار رفته باشد. مدل شبکه‌های عصبی پرسپترون یکی از شناخته شده‌ترین آن، مدل شبکه‌های عصبی پرسپترون چندلایه است ([گندمی و همکاران](#), ۱۳۹۸). اجزای کلیدی در هوش مصنوعی شبکه‌های عصبی هستند که در پژوهش تصویر و بینایی کامپیوتری ادغام شده‌اند. ادغام شبکه‌های عصبی و سایر ابزارهای محاسباتی ریاضی در علوم رایانه می‌تواند مفید باشد. شبکه عصبی مصنوعی یک سازوکار محاسباتی است که قادر است با گرفتن اطلاعات و محاسبه کردن آن‌ها، یک سری اطلاعات جدید ارائه دهد. در شبکه عصبی مصنوعی سعی بر آن است که ساختاری مشابه ساختار بیولوژیکی مغز انسان و شبکه اعصاب بدن ساخته شود تا همانند مغز، قدرت یادگیری، تعمیم‌دهی و تصمیم‌گیری داشته باشد و یک پنهان‌بندی از یک فضای چندمتغیره با اطلاعات دریافتی را به وجود آورد ([الی و همکاران](#), ۲۰۰۶). شبکه‌های عصبی اطلاعات را از لایه‌های ورودی دریافت می‌کنند و با وزن‌های مختلف به هم متصل می‌شوند. اطلاعات وارد شده از لایه ورودی به لایه میانی منتقل می‌شوند، جایی که گره‌ها عملیات پردازش را انجام می‌دهند. لایه میانی عملیات پیچیده‌تری را انجام می‌دهد. گره‌ها اطلاعات را از لایه‌های ورودی دریافت کرده و با استفاده از وزن‌های خود، پردازش‌های مختلفی را اجرا می‌کنند. نتیجه این پردازش به صورت لایه خروجی از شبکه حاصل می‌شود. شبکه‌های عصبی مصنوعی پرسپترون چندلایه شامل یک یا چند لایه میانی هستند که نورون‌های این لایه به عنوان نورون‌های مخفی شناخته می‌شوند. افزون چندین لایه میانی باعث افزایش توانایی شبکه در تحلیل‌های با پیچیدگی بالاتر می‌شود ([هاگان و همکاران](#), ۲۰۱۴). این الگوریتم‌ها به عنوان شبکه‌های نظارت شده شناخته می‌شوند؛ به این معنا که نتایج

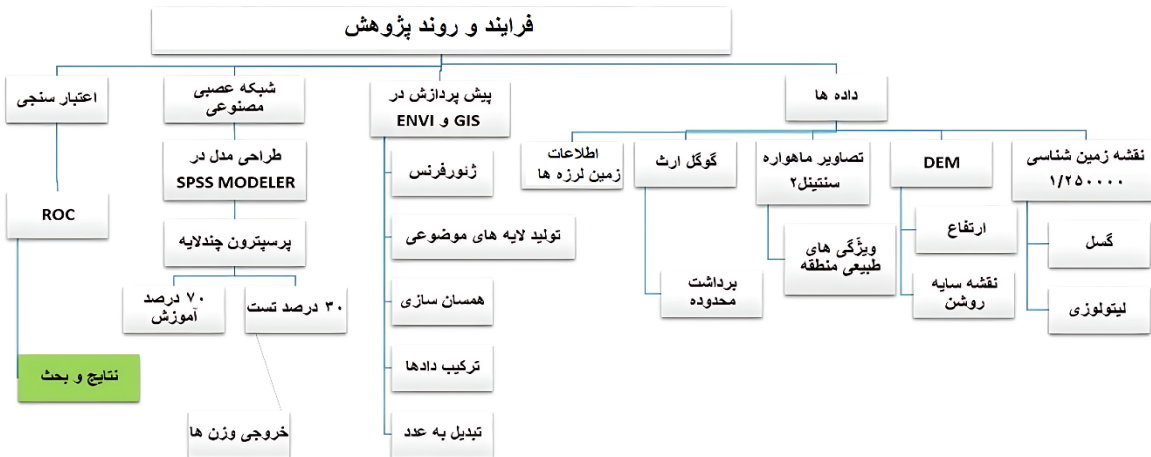
قرارگیری بخش شهرود در ناحیه شرقی ارتفاعات تالش سبب شده به لحاظ زمین‌شناسی و ژئومورفیک، خصوصیات زون البرز غربی و آذربایجان را در خود داشته و از تنوع بالای فرایندهای زمین‌شناسی و ژئومورفیک بخوبی دارد. همچنین به لحاظ سنجش‌نامه و چینه‌شناسی نیز قدیمی‌ترین سنگ‌های استان اردبیل در قسمت جنوب خلخال دیده می‌شود که از پرکامبرین بالاتا دوران چهارم پراکنده است. این پراکنگی به نحوی است که در بخش شهرود تا شهر خلخال هر سه نوع سنگ آذرین، رسوبی و دگرگون دیده می‌شود (تصویر شماره ۳).

روش

در پروژه انجام این پژوهش از داده‌ها و اطلاعات مختلفی استفاده شد که شامل نقشه زمین‌شناسی شهرستان‌های رضوانشهر، خلخال و ماسوله با مقیاس ۱:۱۰۰۰۰ بوده و نقشه مربوط به گسل‌ها و سازندهای زمین‌شناسی از این نقشه اخذ شده است. از مدل رقومی ارتفاعی با قدرت تفکیک مکانی ۱/۵ مربوط به ماهواره آلس - پالسار^۱ و همچنین از تصاویر ماهواره‌ای سنتینل ۲ برای شناسایی ویژگی‌های زمین‌شناسی استفاده شد. برای ویژگی‌های مختلف زمین‌برزه‌ها از داده‌های لرزه‌خیزی در بازه ۳۰ ساله مؤسسه ژئوفیزیک دانشگاه تهران و داده‌های جهانی سازمان زمین‌شناسی آمریکا استفاده شد که شامل تاریخ وقوع، بزرگی، عمق کانونی و مختصات جغرافیایی است. انتخاب بازه ۳۰ ساله به خاطر وجود داده‌های کامل بوده است و داده‌های بیشتر از بازه ۳۰ ساله اکثر ناقص بودند، بنابراین از انتخاب آن‌ها صرف نظر شد. تمام داده‌های مورداستفاده برای آماده‌سازی در مرحله اول وارد نرم‌افزار جی‌آی‌اس^۲ نسخه ۱۰/۷/۱ شد و پردازش مقدماتی روی تمام لایه‌ها انجام گرفت. سپس بعد از اتمام پیش‌پردازش کار مدل‌سازی در نرم‌افزار SPSS Modeler نسخه ۱۸ انجام شد (تصویر شماره ۴).

6. ALOS-PALSAR satellite

7. ArcGIS



تصویر ۴. فرایند و روند پژوهش

در رابطه فوق χ ورودی است که نورون منفرد χ دریافت می‌کند، ω_{ij} وزن بین نورون i و نورون j را نشان می‌دهد و خروجی نورون i متعلق به لایه فرستنده، لایه ورودی یا مخفی است. خروجی حاصل از نورون i از فرمول شماره ۲ حاصل می‌شود (منهاج، ۱۳۸۸).

$$2. O_i = f(x_i)$$

تابع f معمولاً یکتابع سیگموئیدی غیرخطی است. در این پژوهش لایه‌های ورودی متناظر با لایه‌های اطلاعاتی سیستم اطلاعات جغرافیایی A آمده شده و در لایه خروجی نیز معادل پیش‌بینی بزرگای زمین لرزه در محدوده مورد مطالعه است (تصویر شماره ۵).

یافته‌ها

باتوجه به نقشه زمین‌شناسی منطقه، گسل‌های شناخته شده را می‌توان به دو دسته تقسیم‌بندی کرد:

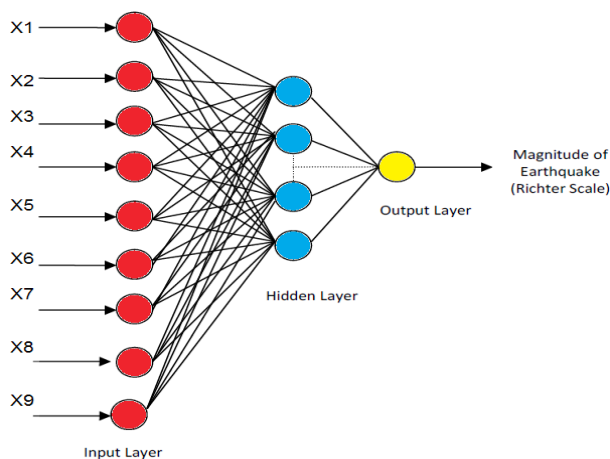
گسل‌های داخل محدوده

از اصلی‌ترین گسل‌های داخل منطقه می‌توان به گسل هروآباد یا شاهروд چای اشاره کرد (تصویر شماره ۶). گسل هروآباد با طولی بیش از ۱۸۸ کیلومتر و جهت امتدادی تقریباً شمال به جنوب، در نزدیک‌ترین نقطه به فاصله ۱۰ کیلومتری از منطقه عزیزآباد قرار دارد. نحوه تشکیل آن به گونه‌ای است که بلوك شرقی نسبت به بلوك غربی به بالا برآمده است. این سازوکار باعث جابه‌جایی مارن‌ها و تجمع رسوبات آواری در منطقه کربیاسه روی آتش‌فشن‌های پالئوژن شده است. انحنای این گسل از میان رودخانه عبور می‌کند، بنابراین می‌توان گفت سیستم رودخانه از سیستم گسل پیروی می‌کند. این گسل سبب بالا آمدگی بلوك غرب شده و در پای این گسل فروافتادگی ایجاد کرده است که از

پیش‌بینی شده توسط مدل را می‌توان با مقادیر شناخته شده متغیرهای هدف مقایسه کرد. یکی از مزایای اصلی شبکه‌های عصبی در مقایسه با تکنیک‌های آماری کلاسیک، انعطاف‌پذیری و عدم وجود مفروضات توزیعی آن هاست (یان و همکاران، ۲۰۲۳). به عنوان مثال، شبکه‌های عصبی را می‌توان برای پیش‌بینی نتایج قطعی و پیوسته استفاده کرد. با این حال، مشکل این است که شبکه‌های عصبی اغلب می‌توانند به سختی تفسیر شوند، زیرا می‌توانند مدل‌های بسیار پیچیده با لایه‌های متعدد تولید کنند. یک شبکه عصبی یک پردازشگر موازی توزیع شده انبوه است که تمایل طبیعی برای ذخیره دانش تجربی و در دسترس قرار دادن آن برای استفاده دارد (المغربی و همکاران، ۲۰۲۳). تعلیم شبکه عصبی پیش‌خور شامل اختصاص وزن بین نورون‌ها بوده و در هر بار وزن دهی، مجموعه‌ای از ورودی‌ها و خروجی‌های مطلوب به عنوان نمونه به خدمت گرفته می‌شوند. الگوهای احتمالاتی با یکدیگر برابر در نظر گرفته می‌شوند؛ به این معنی که هیچ‌گویی نسبت به سایر الگوهای اهمیت پیشتری برخوردار نیست (رامدانی و همکاران، ۲۰۲۲). در ابتدا، وزن بین نورون‌ها به صورت تصادفی تعیین می‌شود و سپس الگوی ارائه شده به شبکه با نتایج مطلوب مقایسه می‌شود. مسلمًا خروجی‌های اولیه به نتایج مطلوب شبیه نبوده و دارای خطای نسبی نسبت به فاصله اقلیدسی بین خروجی محاسبه شده و نتایج مطلوب هستند. از بین کمترین میانگین خطای وزن‌ها مطابق با میزان خطای اصلاح شده و میزان آن‌ها کاهش می‌یابد. با چندین مرحله تکرار، خروجی شبکه به سمت خروجی مطلوب متمایل خواهد شد.

طبقه‌بندی کننده MLP از الگوریتم فرمول شماره ۱ برای محاسبه ورودی‌هایی که یک گره منفرد دریافت می‌کنند، بهره می‌برد (منهاج، ۱۳۸۸).

$$1. x_j = \sum w_{ij} I_i$$



تصویر ۵. نمونه‌ای از مدل پرسپترون چندلایه (هاگان و همکاران، ۲۰۱۴)

پراکندگی نقاط لرزه‌خیز در بازه ۳۰ ساله در تصویر شماره ۸ نشان داده شده است.

عمق کانونی زمین‌لرزه‌های اتفاق‌افتداده در بازه ۳۰ ساله با استفاده از ابزار درون‌یابی در نرم‌افزار ArcGIS نسخه ۱۰/۷/۱ به دست آمده و درصد هر طبقه محاسبه شده است (تصویر شماره ۹). با توجه به نقشه مذکور، ۶۰ درصد از زمین‌لرزه‌های رخداده در داخل محدوده بخش شاهروд در عمق بین ۱۰ تا ۱۵ کیلومتری اتفاق‌افتداده که دارای عمق پایینی هستند. همچنین ۱۵ درصد از زمین‌لرزه‌ها در داخل محدوده در عمق بین ۲۰ تا ۲۵ کیلومتری رخداده‌اند. اما زمین‌لرزه‌های خارج از محدوده به صورت کلی با ۲۵ درصد در عمق بین ۳۰ تا ۴۰ کیلومتر رخداده است که نسبت به زمین‌لرزه‌های داخل محدوده دارای عمق کانونی بالایی است. همچنین نقشه بزرگ‌ای زمین‌لرزه‌های رخداده در بازه ۳۰ ساله که با ابزار درون‌یابی ایجاد شده، نشان دهنده این بوده است که ۲۰ درصد زمین‌لرزه‌های رخداده دارای بزرگ‌ای ۱ تا ۳ ریشتر و ۱۰ درصد زمین‌لرزه‌ها دارای بزرگ‌ای ۴ تا ۵ ریشتر هستند (تصویر شماره ۱۰ و شماره ۱۱).

طراحی مدل برای پنهان‌بندی مخاطرات دامنه‌ای در نرم‌افزار SPSS MODELER

فرایند آماده‌سازی داده برای ورود به مدل شبکه عصبی مصنوعی از نوع پرسپترون چندلایه، یک فرایند نسبتاً سنتیک و پیچیده است. داده‌های موردنیاز پیش‌بینی بزرگ‌ای زمین‌لرزه در وهله اول گردآوری شد. سپس عملیات آنالیز آن برای استخراج بخش‌های موردادستفده در نرم‌افزار سیستم اطلاعات جغرافیایی انجام شد. اساس کار در پیش‌بینی با مدل یادشده، براساس مقادیر پیکسل‌ها در هر متغیر موجود برای پیش‌بینی زمین‌لرزه است؛ بنابراین روش آماده‌سازی داده‌ها به صورت پیکسل پایه بود. سپس تمام متغیرها با ترکیب نسبت به یکدیگر تبدیل به یک نقشه رستری واحد شدند که مقادیر پیکسلی آن دربرگیرنده تمام

میان آن شاهروд چای عبور می‌کند (سیارپور، ۱۳۷۸). همچنین گسل‌های فرعی دیگری در محدوده هستند که حاصل تکتونیک و نیروهای فشاری بوده و برخی از آن‌ها دارای ابعاد کوچک و جزو گسل‌های محلی هستند. از سایر گسل‌های منطقه می‌توان به گسل‌های اصلی و بزرگ که فعالیت آن‌ها دارای قدرت بیشتر است اشاره کرد که شامل گسل‌های زیر است:

گسل گیوی

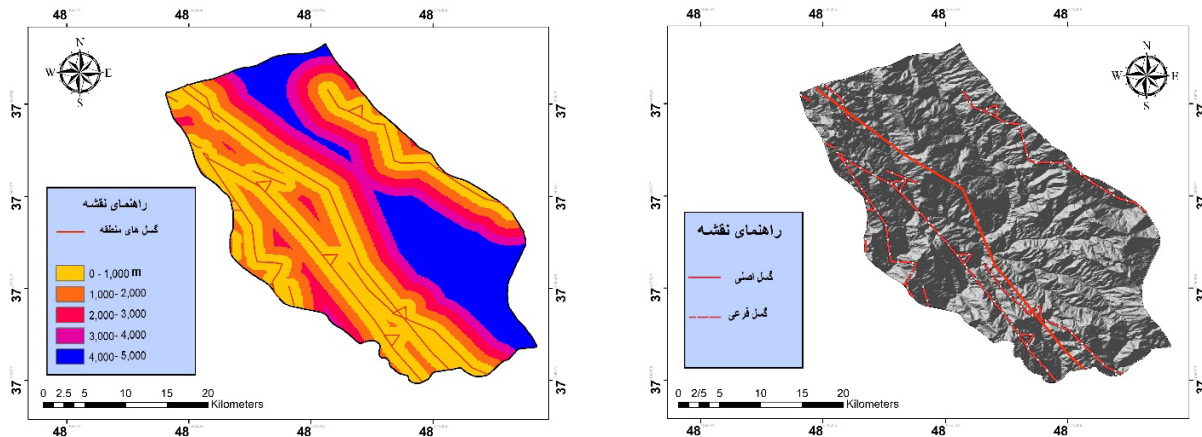
این گسل دارای جهت شمال به جنوب بوده و طولی به اندازه تقریباً ۱۴۲ کیلومتر دارد. این گسل مرز بین رسبات موزوژئیک و سنگ‌های آتش‌فشانی در جهت شرق و رسبات نئوژن در جهت غرب را به وجود آورده است. متأسفانه، جزئیات دقیق در مردمورد سن یا تاریخچه لرزه‌ای این گسل در دسترس نیست، اما مرکز زمین‌لرزه‌های تاریخی در سال‌های ۱۸۶۳ و ۱۸۰۶ به طور دقیق در همین گسل قرار داشته است. این وضعیت می‌تواند احتمال جنبشی بودن این گسل را تقویت کند. به نظر می‌رسد زمین‌لرزه تاریخی خلخال، بهعلت عملکرد این گسل اتفاق‌افتداده و ویرانی‌ها ناشی از حرکات این گسل باشد.

گسل ماسوله

در بخش جنوبی گسل شرق اردبیل، گسل ماسوله شروع می‌شود و به سمت جنوب شرقی ادامه می‌یابد. مکانیسم ایجاد این گسل از طریق فرایند راندگی صورت می‌پذیرد که در آن بلوک خاوری نسبت به بلوک باخته‌تری بالا می‌رود.

گسل کلور

در ناحیه‌ای از رشته‌کوه‌های البرز غربی که جهت امتدادی آن از شمال به جنوب تغییر می‌کند، شکل گرفته است. طول این گسل برابر با حدود ۶۳ کیلومتر است. مکانیسم ایجاد این گسل به صورت معکوس اتفاق‌افتداده است (تصویر شماره ۷).

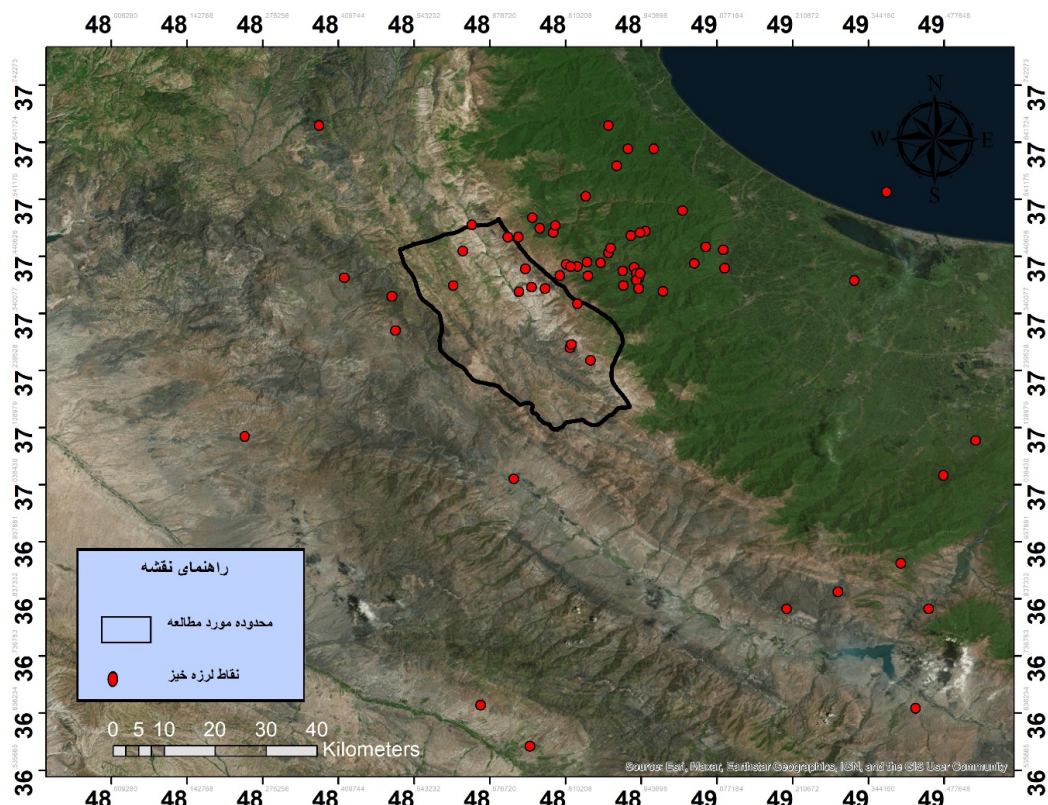


تصویر ۷. نقشه فاصله از گسل‌های منطقه

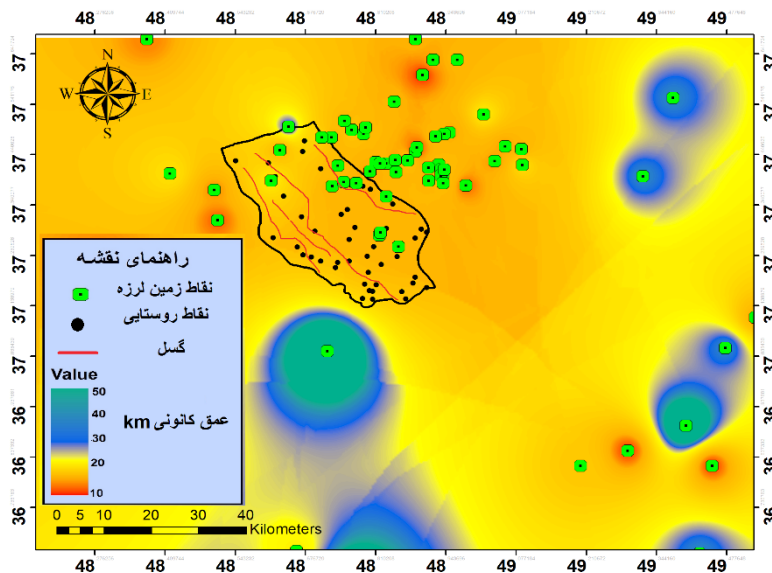
درصد داده‌ها برای آموزش شبکه و ۳۰ درصد برای تست در نظر گرفته شد. همچنین برای عامل پیش‌بینی بزرگ‌ای زمین‌لرزه ۵ معیار انتخاب شد که عبارتند از: ۱. عمق زمین‌لرزه، ۲. بزرگ‌ای زمین‌لرزه رخداده، ۳. فاصله گسل از نقاط، ۴. موقعیت مکانی زمین‌لرزه‌های رخداده، ۵. طول گسل (تصاویر شماره ۶ تا ۱۰).

در رابطه با داده‌های بزرگی و عمق آن از داده‌های مناطق نزدیک به محدوده موردمطالعه استفاده شده است که این کار، هم بر کیفیت خروجی داده‌ها تأثیر دارد و هم به اینکه عامل

متغیرهای مؤثر بر پیش‌بینی بزرگ‌ای زمین‌لرزه است. هدف از این ترکیب تصاویر رسترنی، به دست آوردن مجموعه مقادیر تمام متغیرهای مورداستفاده است. علت این فرایند این است که تمام لایه‌ها و نقشه‌ها در نرم‌افزار سیستم اطلاعات جغرافیایی ایجاد شوند و به خاطر اینکه بتوان مقادیر آن‌ها را خارج کرد تا وارد مدل شوند باید فرایند گفته شده را حافظ کرد. برای مدل سازی، داده‌ها بعد از ورود به مدل به ۷۰ درصد داده‌های آموزش و ۳۰ درصد داده‌های تست شبکه تقسیم شدند که براساس این معیار ۷۰



تصویر ۸. پراکندگی نقاط لرزه‌خیز در بازه ۳۰ ساله (منبع: ترسیم کنندگان، ۱۴۰۲)



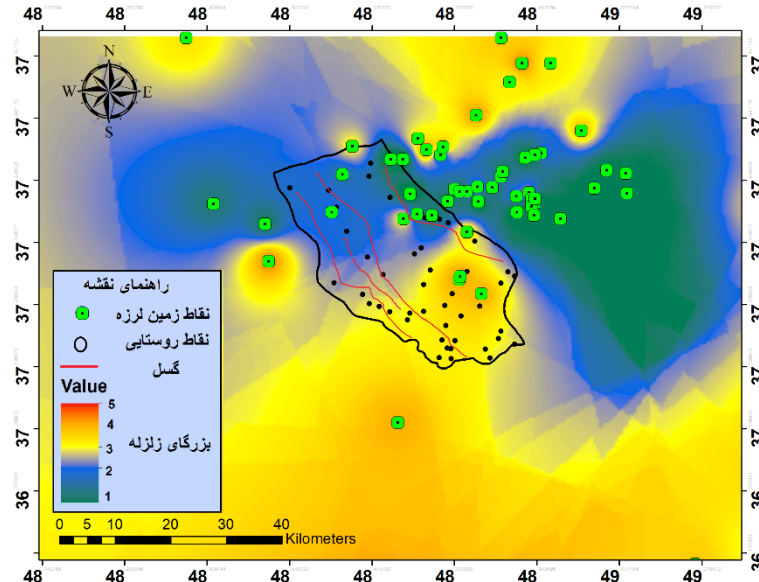
تصویر ۹. نقشه عمق کانونی زمین لرزه‌های اتفاق افتاده در بازه ۳۰ ساله

خطای آموزش استفاده شد. در این معیار هرگاه مدل به میزان خطای معرفی شده از سوی کاربر بررسد، عملیات پردازش متوقف شده و نتایج نشان داده می‌شود. همچنین نرخ سرعت یادگیری مدل براساس داده‌های آموزشی مقدار 0.1% در نظر گرفته شده تا خروجی مدل دارای بیشترین دقت باشد (جدول شماره ۱).

زمین لرزه

براساس اطلاعات بالا بعد از طراحی مدل و تنظیمات شبکه اقدام به وارد کردن داده‌های موردنظر و پردازش آن شد و شبکه عصبی مصنوعی پرسپترون چندلایه با ۵ نورون ورودی، ۳ نورون

زمین لرزه بهنحوی است که امواج پخش شده آن زیاد بوده و فواصل زیادی را تحت تأثیر خود قرار می‌دهد. استفاده از داده‌های زمین لرزه تزدیک به منطقه سبب شناخت هرچه بهتر الگو و روابط بین زمین لرزه‌ها و پارامترهای دیگر می‌شود. برای مدل شبکه عصبی مصنوعی، ۵ نورون ورودی، ۳ نورون میانه و یک نورون خروجی طراحی شده است. همچنین مدل شبکه عصبی برای پایان پردازش و آنالیز خروجی نیازمند در نظر گرفتن معیار توقف است که این عیار خود در مدل شبکه عصبی به سه دسته تقسیم می‌شود. با توجه به اینکه ورودی داده‌ها دارای ابعاد بزرگی است و جمعاً ۲۰۸۵ پیکسل را پوشش می‌دهد، برای توقف مدل از معیار



تصویر ۱۰. نقشه بزرگای زمین لرزه‌های اتفاق افتاده در بازه ۳۰ ساله



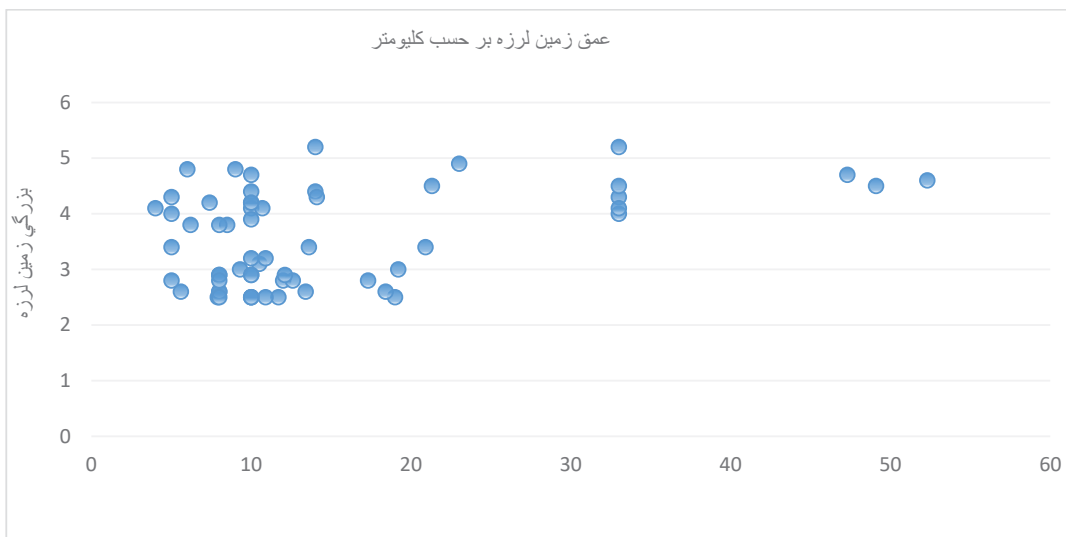
جدول ۱. اطلاعات مدل طراحی شده برای پیش‌بینی بزرگای

پرسپکتور چندلایه	۵	۳	۱	۵۰۰	۱	خروجی	نورون	نورون	نورون	نورون	نورون	نورون	نوع مدل شبکه	عصبي مصنوعي
تست	نرخ داده‌های یادگيری	نرخ داده‌های یادگيری	نرخ داده‌های یادگيری	تعداد ورودی	تعداد فعال‌سازی	تایم یادگيری	یادگيری	تایم یادگيری	نرخ خطا	تعداد تکرار	نورون	نورون	نورون	نورون
۷۸۵	۱۳۰۰	۲۰۸۵	۰/۱	۱۰ دقیقه	۰/۰۱	سیگموئید	۰/۰۱	۰/۰۱	۹۸/۲	۶ ریشترا	۴	۶ ریشترا	۲۶ درصد	۶ ریشترا با نمایانگر این است که مدل طراحی شده دارای دقت بالایی در پردازش داده‌ها برای پیش‌بینی بزرگای زمین‌لرزه بوده است و نتایج با توجه به دقت اولیه دارای اعتبار بالای است (تصویر شماره ۱۲ و شماره ۱۳).

همچنین پیش‌بینی وقوع زمین‌لرزه با بزرگای ۴ تا ۶ ریشترا با ۲۶ درصد احتمال متواتسطی دارد. اما پیش‌بینی زمین‌لرزه‌هایی با بزرگای ۷ تا ۱۰ ریشترا توسط مدل پرسپکتورون چندلایه با مجموع ۴ درصد دارای احتمال خیلی پایینی است. نتایج بدست آمده پیش‌بینی بزرگای زمین‌لرزه در بازه ۳۰ ساله برای بخش شاهروند مدل‌سازی و اجرا شده است (تصویر شماره ۱۵). گرچه بازه ۰-۳۰ ساله در پیش‌بینی بزرگای زمین‌لرزه‌ها عدد کوچکی است، اما با توجه به موجودیت داده‌ها و نتایج بدست آمده می‌تواند یک دید کلی در مورد پیش‌بینی بزرگای زمین‌لرزه در منطقه ارائه دهد. همچنین یکی از مزیت‌های شبکه عصبی پرسپکتورون چندلایه این است که برای پیش‌بینی و طبقه‌بندی داده‌هایی که بخش از آن‌ها به هر علتی در دسترس نیست یا جمع‌آوری آن‌ها دشوار است، کاربرد دارد. به این علت شبکه عصبی پرسپکتورون چندلایه و سایر مدل‌های هوش مصنوعی یادگیری ماشینی در سال‌های اخیر برای پیش‌بینی عوامل مختلف مورداً استفاده قرار گرفته‌اند. در این پژوهش نیز به خاطر خنده‌دانن زمین‌لرزه‌ها با بزرگای بالای ۶ ریشترا در بازه ۳۰ ساله، قسمتی از داده‌های بخش بزرگای زمین‌لرزه مجهول بوده و وارد مدل شبکه عصبی پرسپکتورون چندلایه شده است. نکته مهم در رابطه با پیش‌بینی بزرگای زمین‌لرزه این است که اگر در رابطه با پیش‌بینی از یک گروه داده برای ورودی استفاده شود، نتایج آن قابل استناد نخواهد بود. اما در این پژوهش از داده‌های مختلفی برای پیش‌بینی استفاده

میانه و یک نورون خروجی با دقت ۹۸/۲ درصد ایجاد شد که نمایانگر این است که مدل طراحی شده دارای دقت بالایی در پردازش داده‌ها برای پیش‌بینی بزرگای زمین‌لرزه بوده است و نتایج با توجه به دقت اولیه دارای اعتبار بالای است (تصویر شماره ۱۲ و شماره ۱۳).

شبکه عصبی پرسپکتورون چندلایه جهت طراحی نیازمند سه دسته داده آموزشی، آزمایشی و صحبت‌سنگی است. داده‌های آموزشی به منظور پیدا کردن رابطه بین ورودی‌ها و خروجی‌های مشاهده شده توسط مدل استفاده می‌شوند. با توجه به تصویر شماره ۱۴ و جدول شماره ۲، نتایج نشان‌دهنده این است که مدل پرسپکتورون چندلایه، بیشترین ارزش تأثیرگذاری را به ترتیب برای لایه‌های بزرگای زمین‌لرزه با مقدار ۸/۳۰، فاصله از گسل ۰/۵۸، عمق کانونی ۴/۲۰، همچنین کمترین ارزش تأثیرگذاری رانیز برای عامل نقاط لرزه‌خیز با مقدار ۰/۲۵ و عامل طول گسل ۰/۱۸ اختصاص داده است. تخصیص مقادیر نهایی توسط مدل صورت می‌گیرد و برای هر متغیر یک عدد اختصاص داده می‌شود و کاربر هیچ نوع دخالتی در تعیین مقادیر خروجی ندارد، اما هرچه ورودی دارای کیفیت و دقت و فراوانی بالایی باشد نتایج نهایی در مورد تخصیص وزن‌ها نیز دارای کیفیت و دقت بالاتری خواهد شد. همچنین نتایج اصلی پیش‌بینی بزرگای زمین‌لرزه نشان‌دهنده این است که رخداد زمین‌لرزه با بزرگای ۱ تا ۳ ریشترا در منطقه با مجموع ۷۰ درصد دارای احتمال بیشتری است.



تصویر ۱۱. نمودار عمق زمین‌لرزه‌ها و بزرگای آن در بازه ۳۰ ساله



جدول ۲. درصد پیش‌بینی بزرگای زمین‌لرزه توسط مدل پرسپترون چندلایه

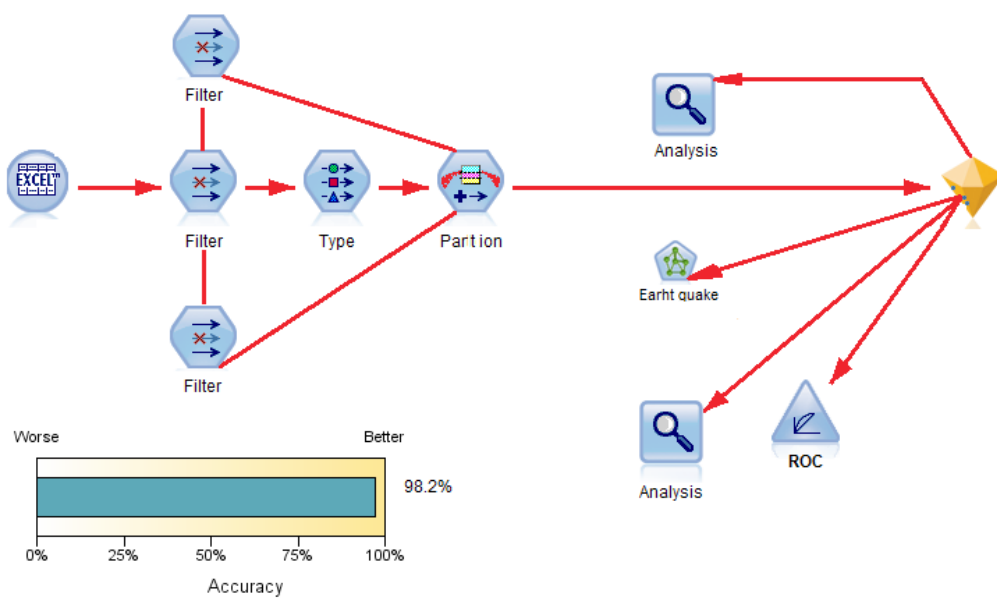
پیش‌بینی بزرگای زمین‌لرزه	درصد وقوع
۱	۸۵
۲	۷۶
۳	۷۳
۴	۶۳
۵	۲۱
۶	۷
۷	۴
۸	۰/۰۰۱
۹	۰/۰۰۰۱
۱۰	۰/۰۰۰۰۱

اعتبارسنجی مدل پرسپترون چندلایه

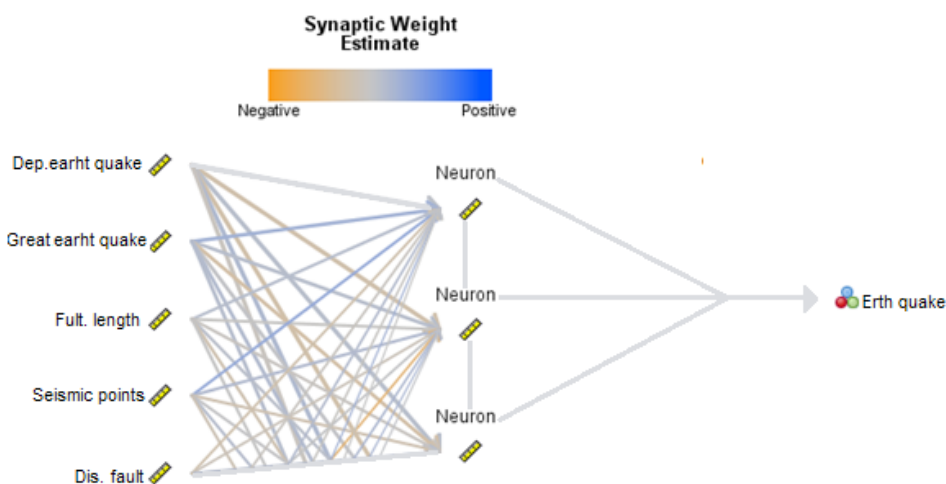
برای اعتبارسنجی داده‌ها و نقشه پهن‌بندی خطر زمین‌لرزش از منحنی مشخصه عملکرد گیرنده^۹ در رابطه با خروجی داده‌ها استفاده شد. این منحنی یادشده، هم برای داده‌های آموزشی اجرا شده و هم برای داده‌های تست شبکه. برای اعتبارسنجی یک مدل در وهله اول باید مرحله آموزش و اعتبارسنجی انجام شود تا میزان ارزش بخش آموزشی معلوم شود. مدلی که در

شده است که با تشکیل ماتریس و مقایسه برای محاسبه وزن نهایی پارامترهای شبکه استفاده شده و نتایج نهایی ایجاد شده است. بنابراین نتایج نهایی وابسته به کل ورودی مدل است و هرچه دسته‌های ورودی بیشتر باشد و برای پیش‌بینی یک متغیر از عوامل مختلف استفاده شود، دقت خروجی مدل نیز افزایش خواهد یافت که در این پژوهش از ۵ عامل برای مدل‌سازی و پیش‌بینی بزرگای زمین‌لرزه استفاده شده است.

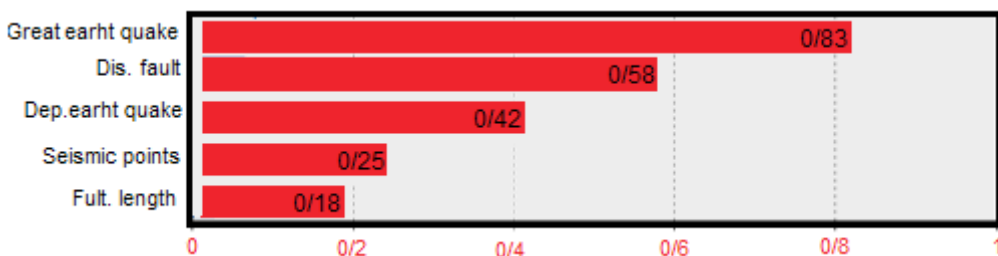
9. Receiver Operating Characteristic (ROC)



تصویر ۱۲. مدل طراحی شده پرسپترون چندلایه در SPSS MODELER



تصویر ۱۳. ساختار مدل طراحی شده برای پیش‌بینی بزرگ‌گای زمین‌لرزه



تصویر ۱۴. نمودار تأثیرگذاری عوامل ورودی در پیش‌بینی بزرگ‌گای زمین‌لرزه

در این نمودار، منحنی آبی به سمت چپ مایل شده و به سمت بالا روانه شده که این حالت هم نمایانگر اعتبار بالای مدل در بخش آموزش است. بنابراین آموزش صحیح مدل سبب شده نتایج خروجی در بخش تست نیز اعتبار بالا را نشان دهد. بخش آموزش دارای تفاوت اندکی است و ناحیه زیر منحنی ^{۱۰} عدد ۹/۱۱ در بخش آموزش و ۰/۹۳۴ در بخش تست شبکه را نشان می‌دهد (**جدول شماره ۳**) که گویای این است که مدل هم در بخش آموزش و هم در بخش تست دارای اعتبار بالایی بوده و در رتبه عالی قرار گرفته و نتایج خروجی آن قابل اعتماد است.

بحث

با توجه به عملکرد مدل پرسپترون چندلایه در خصوص پیش‌بینی و تخمین بزرگ‌گای زمین‌لرزه در بخش شهرود، نتایج نشان داد در مرحله اولیه، پیش‌بینی مدل بیشترین ارزش تأثیرگذاری را در خصوص بزرگ‌گای زمین‌لرزه به عوامل بزرگ‌گای زمین‌لرزه‌های رخداده با مقدار ۰/۸۳ درصد و برای لایه فاصله از گسل و عمق کانونی زمین‌لرزه‌های رخداده بهترتبیب با مقدار ۰/۵۸ و ۰/۴۲ درصد و کمترین ارزش تأثیرگذاری را به عامل نقاط لرزه‌خیز با مقدار ۰/۲۵ درصد و برای عامل طول گسل با مقدار ۰/۱۸ درصد اختصاص

بخش آموزش دارای اعتبار پاییزی باشد عموماً در مرحله نهایی نیز دارای داده‌های با دقت کمتر خواهد بود (**وهابزاده، ۱۴۰۲**). همچنین اعتبارستجوی بخش تست شبکه نیز به عنوان بخش نهایی در اعتبارستجوی شناخته می‌شود. بر حسب نوع و میزان آموزش کیفیت داده‌های خروجی نیز متغیر است. همچنین در بخش تست شبکه نمی‌توان از مقادیر سلولی مناطق خطر ریزش استفاده کرد. بنابراین در بخش طراحی مدل، داده‌ها به ۷۰ درصد آموزش و ۳۰ درصد تست شبکه تقسیم شوند؛ به مثال ساده، نرم‌افزار در مرحله مدل‌سازی ۳۰ درصد مقادیر سلولی مناطق ریزشی را نگهداشت و آن را با داده‌های آموزشی ترکیب نمی‌کند و در آخر برای تست شبکه از همین داده‌های ۳۰ درصد استفاده می‌شود. نرم‌افزار به صورت خودکار با عمل مقایسه داده‌های خروجی و داده‌های ۳۰ درصد از طریق نمودار اعتبار نتیجه خروجی را نمایش می‌دهد (**وهابزاده، ۱۴۰۲**).

با توجه به منحنی **تصویر شماره ۱۶** که در بخش اول مربوط به قسمت آموزش مدل MLP است، میزان اعتبار نشان‌دهنده این است که مدل به خوبی آموزش دیده و پیش‌بینی آن در خصوص بزرگ‌گای زمین‌لرزه در آینده قابل اعتماد است. معیار این منحنی به‌گونه‌ای است که خطوط رسم شده هرچه دارای فاصله بیشتری از منحنی قرمز اصلی باشد دارای اعتبار بالاتری است. همچنین

10. Area under the curve (AUC)

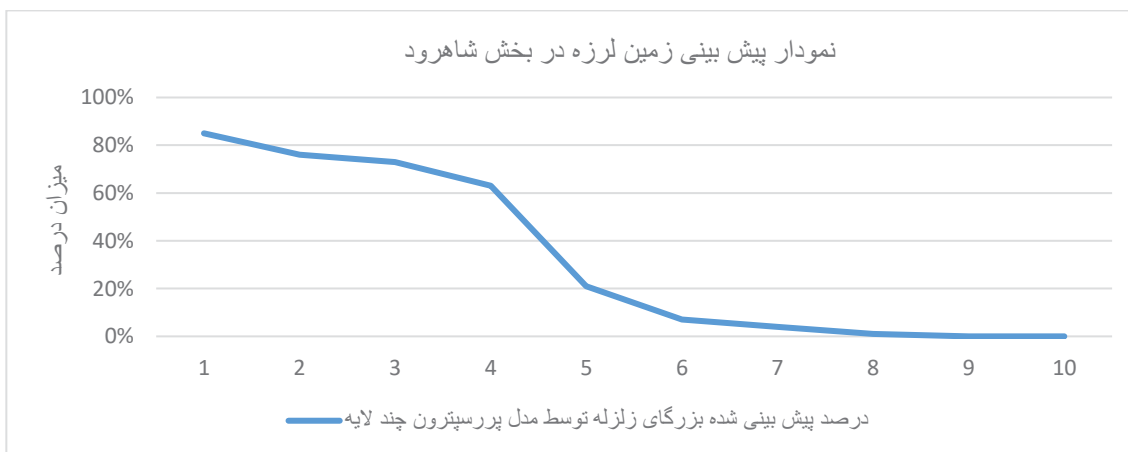


جدول ۳. مقادیر ناحیه زیر منحنی (AUC)

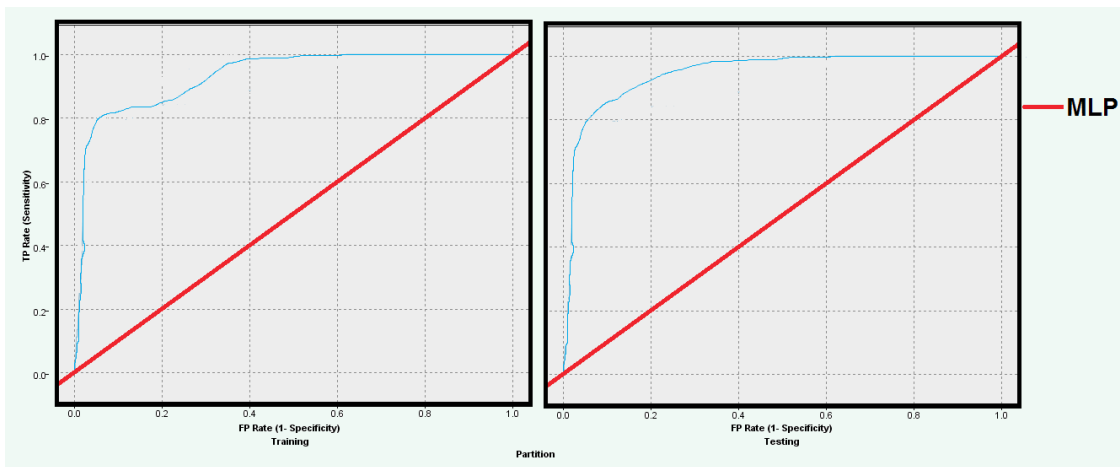
آموزش	تست	تقسیم‌بندی
aus	aus	مدل
.۹۱۰	.۹۳۴	زمین‌لزه

نورون ورودی، ۳ نورون میانه و یک نورون خروجی طراحی شده است و نتایج نهایی مدل بعد از آموزش و سنجش میزان اعتبار آن نشان داده که زمین‌لزه‌ها باشد و بزرگ‌تری ۱ تا ۳ ریشتر احتمال وقوع خیلی زیادی دارند و امکان رخداد آن‌ها در مناطق گسله بهویژه گسل کلور خیلی بالاست. گرچه زمین‌لزه‌هایی با این شدت و قدرت در رتبه کم خطر طبقه‌بندی می‌شوند اما رخداد آن‌ها در عمق‌های کم و نزدیک به مناطق مسکونی که به لحاظ ساخت کیفیت پایین دارند می‌تواند خسارات جانی و مالی زیادی ایجاد کند. همچنین زمین‌لزه‌هایی با بزرگ‌تری ۴ تا ۶ ریشتر با ۲۶ درصد، احتمال وقوع متوسطی دارند. رخداد این زمین‌لزه‌ها با قدرت و

داده است. در پروسه پیش‌بینی و تخمین بزرگ‌ای زمین‌لزه، داده‌های مهم لرزه‌نگاری بسیار مهم هستند؛ چراکه با بررسی و ارزیابی آن‌ها می‌توان روابط معنی‌داری را در خصوص عوامل مختلف کشف کرد. رخداد متوالی زمین‌لزه‌ها در ناحیه شرقی ۲۰ بخش شاهروд که بیشتر از ۷۰ درصد آن‌ها در عمق ۱۰ تا ۲۰ کیلومتری و با بزرگ‌ای ۱ تا ۳ ریشتر بوده، نشان‌دهنده فعال بودن گسل کلور است. همچنین با بررسی سایر نقاط لرزه‌خیز در داخل منطقه معلوم شده که ۷۰ درصد نقاط در نزدیک گسل‌ها اتفاق افتاده و با فعالیت جنبشی گسل‌ها ارتباط معنی‌داری دارند. مدل طراحی شده در رابطه با پیش‌بینی و تخمین بزرگ‌ای زمین‌لزه با ۵



تصویر ۱۵. نمودار پیش‌بینی بزرگ‌ای زمین‌لزه



تصویر ۱۶. نمودار مربوط به اعتبارسنجی ROC

معیار این منحنی به‌گونه است که خطوط رسم‌شده هرچه دارای فاصله بیشتری از منحنی قرمز اصلی باشد، دارای اعتبار بالایی است همچنین در نمودار بالا منحنی آبی به سمت چپ مایل شده و به سمت بالا روانه شده که این حالت هم نمایانگر اعتبار بالایی مدل در بخش آموزش است. بنابراین آموزش صحیح مدل سبب شده نتایج خروجی در بخش تست نیز اعتبار بالا را نشان دهنده. بخش آموزش دارای تفاوت اندکی است و مقدار AUC عدد 0.911 در بخش آموزش و 0.934 در بخش تست شبکه را نمایش می‌دهد (جدول شماره ۳) که گویای این است که مدل هم در بخش آموزش و هم در بخش تست دارای اعتبار بالایی بوده و در رتبه عالی قرار گرفته و نتایج خروجی آن قابل اعتماد است.

ملاحظات اخلاقی

پیروی از اصول اخلاق پژوهش

در این مقاله تمام اصول اخلاق پژوهش رعایت شده است.

حامی مالی

این پژوهش هیچ‌گونه کمک مالی از سازمانی‌های دولتی، خصوصی و غیرانتفاعی دریافت نکرده است.

مشارکت‌نویسندها

تمام نویسندها در آمده‌سازی این مقاله مشارکت داشتند.

تعارض منافع

بنابر اظهار نویسندها، این مقاله تعارض منافع ندارد.

تشکر و قدردانی

از مراکزی چون مرکز لرزه‌نگاری کشوری و مؤسسه ژئوفیزیک دانشگاه تهران که در جهت انجام این پژوهش با ارائه داده‌ها و اطلاعات مهم ما را یاری کردند، تشکر و قدردانی می‌شود.

شدت تعریف‌شده می‌تواند خسارات زیادی را در منطقه ایجاد کند. همچنین زمین‌لرزه‌هایی با قدرت و شدت بالا در حد ۷ تا ۱۰ ریشتر قدرت تخریبی خیلی بالایی دارند و احتمال وقوع آن‌ها در منطقه بهندرت و ۴ درصد است که نشان‌دهنده این است که احتمال وقوع آن‌ها پایین است. براساس آمارها و سوابق زمین‌لرزه‌ها در منطقه نیز وقوع این مدل زمین‌لرزه‌هایی باشد و قدرت خیلی بالا بزرگ‌تر است. اما در صد وقوع زمین‌لرزه‌هایی با صفر است که بر درصد احتمال خیلی پایین این مدل نیز نزدیک به صفر است که بر داده‌های مبتنی بر هوش مصنوعی که توانایی یادگیری نوعی و پارامترهای مختلف را دارند، ابزار مهمی در رابطه با حل مسائل پیچیده شناخته می‌شوند. مدل پرسپترون چندلایه که به‌علت الگوبرداری از سیستم محاسباتی مغز انسان عملکرد خوبی در این رابطه دارد، عموماً در سطح جهان برای پیش‌بینی خصوصیات زمین‌لرزه استفاده می‌شود. بنابراین استفاده از مدل‌های هوش مصنوعی به‌ویژه مدل پرسپترون چندلایه در خصوص پیش‌بینی بزرگ‌ای زمین‌لرزه می‌تواند کمک زیادی در رابطه با شناخت الگو و روابط پیچیده مختلف کند.

نتیجه‌گیری

برای اعتبارسنجی داده‌ها و نقشه پهنه‌بندی خطر زمین‌لرزش از منحنی ROC در رابطه با خروجی داده‌ها استفاده شده است. این منحنی یادشده هم برای داده‌های آموزشی و هم برای داده‌های تست شبکه اجر شده است. برای اعتبارسنجی یک مدل در وهله اول باید مرحله آموزش و اعتبارسنجی شود تا میزان ارزش بخش آموزشی معلوم شود. مدلی که در بخش آموزش دارای اعتبار پایینی باشد عموماً در مرحله نهایی نیز داده‌ها دارای دقت کمتری خواهد بود (وهابزاده، ۱۴۰۲). همچنین اعتبارسنجی بخش تست شبکه نیز به عنوان بخش نهایی در اعتبارسنجی شناخته می‌شود. بر حسب نوع و میزان آموزش کیفیت داده‌های خروجی نیز متغیر است. همچنین در بخش تست شبکه نمی‌توان از مقادیر سلولی مناطق خطر ریزش استفاده کرد. بنابراین در بخش طراحی مدل داده‌ها به 70 درصد آموزش و 30 درصد تست شبکه تقسیم شده است. به مثال ساده نرم‌افزار در مرحله مدل‌سازی 30 درصد مقادیر سلولی مناطق ریزشی را نگهداشت و آن را با داده‌های آموزشی ترکیب نمی‌کند و در آخر برای تست شبکه از همین داده‌های 30 درصد استفاده می‌شود. نرم‌افزار به صورت خودکار با عمل مقایسه داده‌های خروجی و داده‌های 30 درصد از طریق نمودار اعتبار نتیجه خروجی را نمایش می‌دهد (وهابزاده، ۱۴۰۲). با توجه به منحنی (تصویر شماره ۸)، در بخش اول مربوط به قسمت آموزش مدل MLP است، میزان اعتبار نشان‌دهنده این است که مدل به خوبی آموزش دیده و پیش‌بینی آن در خصوص بزرگ‌ای زمین‌لرزه در آینده قابل اعتماد است.



References

- Arjomand, M. A., Mahmoudi, J., Rezaei, M., & Mohammadi, M. H. (2016). [The earthquake magnitude prediction using multilayer perceptron neural network (Persian)]. *Modares Civil Engineering Journal*, 16(4), 1-8. [\[Link\]](#)
- Ahmadi Namin, M., & Kazemian, A. (2023). [Study of the relationship between earthquakes and weather in recent earthquakes in Iran (Persian)]. *Bulletin of Earthquake Science and Engineering*, 10(2), 129-141. [\[DOI: 10.48303/bese.2022.553375.1075\]](#)
- Berberian, M., & King, G. C. P. (1981). Towards a paleogeography and tectonic evolution of Iran. *Canadian Journal of Earth Sciences*, 18(2), 210-265. [\[Link\]](#)
- Dana, T., Lelahizade, B., Hemmasi, A., & Aghamohammadi, H. (2020). [Vulnerability assessment of Tehran Municipality District 8 against earthquake (Persian)]. *Disaster Prevention and Management Knowledge*, 10(2), 177-186. [\[Link\]](#)
- Esfandyari, F., Gafari, A., & Lotfi, K. (2014). [Vulnerability assessment citiesnear by faultsusing TOPSIS Method & GIS: A Case Study of Ardabil (Persian)]. *Journal of Natural Environmental Hazards*, 3(4), 17-33. [\[DOI:10.22111/jneh.2014.2466\]](#)
- Esfandiari, F., Ghafari Gilande, A., & Lotfi, Kh. (2018). [Investigating the seismic power of faults and estimating human casualties caused by earthquakes in urban areas, a case study: (Ardebil city)(Persian)]. *Quantitative Geomorphological Research*, 2(4), 17-36. [\[Link\]](#)
- Gandomi, M., Dolatshahi, Pirooz, M., Varjavand, I., & Nikoo, M. R. (2019). [Application of multilayer perceptron neural network and support vector machine for modeling the hydrodynamic behavior of permeable breakwaters with Porous Core (Persian)]. *Marine Engineering*, 15(29) , 167-179. [\[Link\]](#)
- Gholami, H., & Shokohi Bidhandi, M. S. (2023). [Relative evaluation of the vulnerability of urban areas of Khorramabad in terms of earthquakes using hierarchical analysis method (Persian)]. *Disaster Prevention and Management Knowledge*, 12(4), 481-499. [\[Link\]](#)
- Hayati, S., Gholami, Y., Esmaili, A., & Razavinejhad, M. (2017). [Predicting the location of a possible earthquake in Khorasan Razavi Province by Using Artificial Neural Network (Persian)]. *Journal of Geography and Environmental Hazards*, 5(4), 1-19. [\[DOI:10.22067/geo.v5i4.47594\]](#)
- Heidaramozaffar, M., & TajBakhshian, M. (2022). [Zoning the vulnerability of Nahavand Settlements to Earthquakes (Persian)]. *Journal of Natural Environmental Hazards*, 11(34), 57-78. [\[Link\]](#)
- Khairi, A., Balafar, M., & Zamani, B. (2017). [Prediction of Tabriz fault earthquake using polynomial regression (Persian)]. *Scientific Research Quarterly of Crisis Management*, 10, 77-81. [\[Link\]](#)
- Kazemi, M., Mahood, M., & Zafarani, H. (2021). [Magnitude and epicentral distance estimation from a single seismic record in the Alborz Region (Persian)]. *Bulletin of Earthquake Science and Engineering*, 8(2), 1-7. [\[DOI:10.48303/bese.2021.244102\]](#)
- Khodadadijid, Sh., & Porzinli, S. (2022). [Seismic zoning of Ardabil city using deterministic risk analysis and fuzzy system(Persian)]. *Modares Civil Engineering Journal*, 22(2), 57-74. [\[Link\]](#)
- Pirizadeh, M., & Pirizadeh, M (2021). [Artificial intelligence applications in analyzing seismological data (Case study: Precursors data) (Persian)]. *Disaster Prevention and Management Knowledge*, 11(3), 299-309. [\[Link\]](#)
- Soltanpour, H., Zaré, M., Moghimi, E., & Jafarbiglo, M. (2019). [Earthquake risk assessment in northwestern Tehran using Analytical Hierarchy process (AHP), case study: 22nd District (Persian)]. *Disaster Prevention and Management Knowledge*, 8(4), 373-386. [\[Link\]](#)
- Al Banna, H., Abu Taher, K., Shamim Kaiser, M., Mufti, M., Sazduri, R., & Sanwar, H., et al. (2020). Application of artificial intelligence in predicting earthquakes: State-of-the-art and future challenges. *IEEE Access*, 8, 192880 - 192923. [\[DOI:10.1109/ACCESS.2020.3029859\]](#)
- Almaghrabi, M., & Chetty, G. (2020). Improving sentiment analysis in Arabic and English languages by using Multi-Layer Perceptron Model (MLP). Paper presented at: 2020 IEEE 7th International Conference on Data Science and Advanced Analytics (DSAA), Sydney, NSW, Australia, 06-09 October 2020. [\[DOI:10.1109/DSAA4901.2020.00095\]](#)
- Apriani, M., Wijaya, S. K., & Daryono. (2021). *Earthquake magnitude estimation based on machine learning: Application to earthquake early warning system*. Paper presented at: Journal of Physics: Conference Series, Volume 1951, International Symposium on Physics and Applications (ISPA 2020), Surabaya, Indonesia, 17-18 December 2020. [\[DOI:10.1088/1742-6596/1951/1/012057\]](#)
- Bhatia, M., Ahangar, T. A., & Manocha, A. (2023). Artificial intelligence based real-time earthquake prediction. *Engineering Applications of Artificial Intelligence*, 120, 105856. [\[DOI:10.1016/j.engappai.2023.105856\]](#)
- Feng, B., & Fox, G. C (2020). Spatiotemporal pattern mining for nowcasting extreme earthquakes in Southern California. *arXiv*, 2012.14336. [\[DOI:10.48550/arXiv.2012.14336\]](#)
- Galkina, A., & Grafeeva, N. (2019). *Machine learning methods for earthquake prediction: A survey*. Paper presented at: The Fourth Conference on Software Engineering and Information Management, Saint Petersburg, Russia, April 2019. [\[Link\]](#)
- Hagan, M. T., Demuth, H. B., Beale, M. H., & Jesús, O. D (2014). Neural Network Design. Retrieved from: [\[Link\]](#)
- Lee, S., Ryu, J. H., Lee, M. J., & Won, J. S. (2006). The application of artificial neural networks to landslide susceptibility mapping at Janghung, Korea. *Mathematical Geology*, 38(2), 199220. [\[DOI:10.1007/s11004-005-9012-x\]](#)
- Menhaj, M. (2009). *[Fundamentals of neural networks (Persian)]*. Tehran: Amirkabir University of Technology.
- Mousavi, M., & Broza, G. (2023). Machine learning in earthquake seismology. *Annual Review of Earth and Planetary Sciences*, 51(1), 105-129. [\[Link\]](#)
- Ramdhani, Y., Mustofa, H., Topiq, S., Alamsyah, D. P., Setiawan, S., & Susanti, L. (2022). *Sentiment analysis Twitter based lexicon and multilayer perceptron Algorithm*. Paper presented at: 10th International Conference on Cyber and IT Service Management (CITSM), Yogyakarta, Indonesia, 20-21 September 2022. [\[DOI:10.1109/CITSM56380.2022.9936029\]](#)
- Saad, O., Chen, Y., Savvaidis, A., Fomel, S., Jiang, X., & Huang, D., et al. (2023). Earthquake forecasting using big data and artificial intelligence: A 30-week real-time case study in China. *Bulletin of the Seismological Society of America*, 113(6), 2461-2478. [\[DOI:10.1785/0120230031\]](#)
- Sayarpour, M. (1999). [Landslide risk potential zoning in the south of Khalkhal, Ardabil province (Persian)] [MA thesis]. Tehran: University of Tehran. [\[Link\]](#)



Vahabzde, M. (2023). [Risk zoning of skirts on Khalkhal road to Shahroud using artificial neural network system (Persian)] [MA thesis]. Ardabil: University of Mohaghegh Ardabili.

Yan, J., Zeng, S., Tian, B., Cao, Y., Yang, W., & Zhu, F. (2023). Relationship between highway geometric characteristics and accident risk: A Multilayer Perceptron Model (MLP) Approach. *Sustainability*, 15(3), 1893. [\[DOI:10.3390/su15031893\]](https://doi.org/10.3390/su15031893)

Yazarloo, R., & Baey, A. (2023). [*Prediction of induced earthquakes caused by dam construction by artificial neural network* (Persian). Paper presented at: The First National Conference on New Technologies in Energy Consumption and sustainable Urban Planning in Civil Engineering and Architecture, Golestan, Iran, 10 May 2023. [\[Link\]](#)

This Page Intentionally Left Blank